

FOTO 46 - Ponto 56A UTM 678.602 mE x 7.251.161 mN – 532 m: Grande escavação em quartzitos, bem estratificados, com delgadas intercalações de filito arroxeadado, sendo bem visível intercalação, com cerca de 1 m de espessura, que se estende do lado superior esquerdo ao inferior direito; o acamamento tem orientação N10°E; 40°SE.



FOTO 47 - Ponto 9 UTM 675.224 mE x 7.257.695 mN – 294 m: rocha gabróide em área de domínio de granitos grossos.



FOTO 48 - Ponto 52A UTM 674.168 mE x 7.258.456 mN – 423 m: enclave de anfibolito fino muito fraturado em área de rochas graníticas, próximo a contato com enclave de metassedimentos.



FOTO 49 - Ponto 49A UTM 677.629 mE x 7.269.771 mN – 733 m: afloramento de sienito cinzento com granulação média a grossa, próximo à localidade de Ribeirão da Ilha; são comuns pequenos cristais e aglomerados de magnetita esparsos no terreno.



FOTO 50 - Ponto 58A UTM 682.512 mE x 7.247.340 mN – 639 m: grande intrusão de diabásio com granulação grossa (gabro), em afloramentos sob a forma predominantemente de rocha alterada dura, no meio de solos de alteração e residuais.



FOTO 51 - Ponto 27A UTM 702.246 mE x 7.267.687 mN - 274 m: depósito rudáceo com abundantes fragmentos e pequenos blocos angulosos de rochas diversas, predominando quartzo, quartzito e metapelitos; há abundante matriz argilo-arenosa, coesa, com grãos e pedriscos de quartzo esparsos na matriz, dura e argilosa.



FOTO 52 - Ponto 27A UTM 702.246 mE x 7.267.687 mN - 274 m: vista do ribeirão Corumbé em direção a montante, com o leito atulhado de blocos, sobretudo de quartzo e quartzito.



FOTO 53 - Ponto 30A UTM 703.048 mE x 7.268.525 mN - 237 m: Perspectiva das camadas do depósito rudáceo mostrando seqüências sedimentares distintas, com camada inferior rica em blocos arredondados grandes de quartzo e metapelito fresco, sendo que a camada superior contém fragmentos angulosos de quartzo esparsos, semelhante a depósito de tálus; a matriz é avermelhada, variegada de amarelo e branco, argilo-arenosa com grânulos e fragmentos de quartzo.



FOTO 54 - Ponto 30A UTM 703.048 mE x 7.268.525 mN - 237 m: pormenor da base do depósito rudáceo, ilustrado na foto 53, mostrando blocos de quartzo e metassedimentos imersos em matriz avermelhada e variegada, argilo arenosa, muito coesa, com grãos e fragmentos esparsos de quartzo.



FOTO 55 - Ponto 31A UTM 703.384 mE x 7.268.802 mN - 242 m: aspecto de espesso depósito rudáceo em contato de falha com "horst" do embasamento metapelítico, em corte de estrada para Curitiba, próximo a Adrianópolis; os matacões são de quartzo, quartzito, metapelito são e, mais raramente, calcário, sendo bastante arredondados.



FOTO 56 - Ponto 2 UTM 698.003 mE x 7.270.231.mN - 208 m: vertente esquerda do rio Ribeira, mostrando pequena erosão ocorrida na ocasião de cheia de 1997.



FOTO 57 - Ponto 2 UTM 698.003 mE x 7.270.231 mN - 208 m: encosta correspondente a depósito de tálus na margem direita do rio Ribeira, pouco a montante do eixo da barragem de Tijuco Alto; vista para jusante.

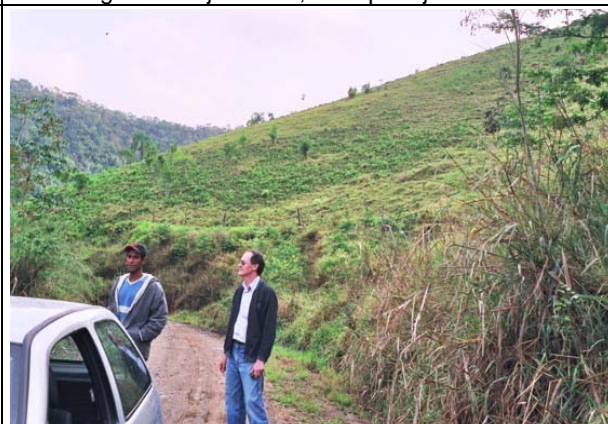


FOTO 58 - Ponto 2 UTM 698.003 mE x 7.270.231 mN - 208 m: depósito de tálus com pequenos blocos de calcário e matriz silto-argilosa marrom avermelhada, bastante coesa.



FOTO 59 - Ponto 3 UTM 688.670 mE x 7.265.673 mN - 318 m: vale encaixado e profundo do rio do Rocha, na área de remanso do reservatório de Tijuco Alto; vista em direção a jusante.



FOTO 60 - Ponto 45 UTM 689.095 mE x 7.269.649 mN - 330 m: vista do vale do rio Ribeira em direção a montante; o vale é estreito e profundo e não apresenta depósitos aluviais de planície ou terraço.



FOTO 61 - Ponto 56 UTM 690.593 mE x 7.268.915 mN - 230 m: tálus com blocos de quartzo branco leitoso imersos em matriz argilosa vermelha; o relevo na área é mais suave, em função da presença do corpo de tálus.



FOTO 62 - Ponto 74 UTM 697.691 mE x 7269.853 mN: vista do rio Ribeira para montante, mostrando vertentes abruptas e restritos depósitos de sopé, junto à margem direita.



FOTO 63 - Ponto 21A UTM 701.291 mE x 7.265.883 mN – 414 m: talude verticalizado escavado em tálus muito consistente, com fragmento de rochas diversas em matriz vermelha escura, dura e úmida.

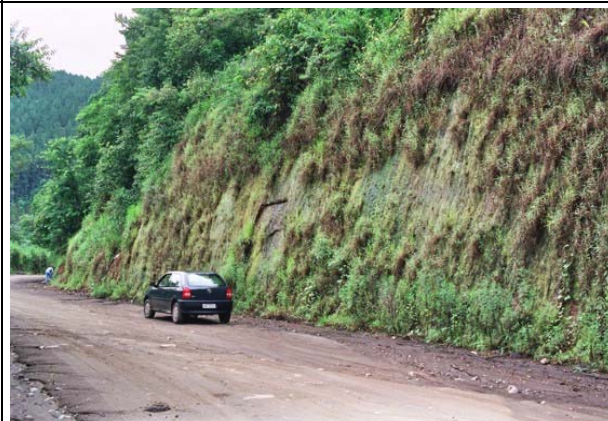


FOTO 64 - Ponto 38A UTM 699.156 mE x 7.273.563 mN – 228 m: vista do vale do rio Ribeira em direção a jusante, vendo-se encostas íngremes recobertas por vegetação densa, em área de rochas calcárias.



FOTO 65 - Ponto 59A UTM 697.944 mE x 7.253.719 mN – 908 m: aspecto do relevo de serras e espigões; vista em direção a leste, tomada da rodovia BR-476, entre Tunas do Paraná e Adrianópolis.



FOTO 66 - Ponto 2A UTM 716.108 mE x 7.285.433 mN – 828 m: solos residuais de calcário e/ou colúviais em área sujeita a escorregamentos.



FOTO 67 - Ponto 29A UTM 702.904 mE x 7.268.177 mN – 263 m: aspecto de grande escorregamento em encosta de metapelitos alterados, cortado por dique máfico ilustrado na foto 23.



FOTO 68 - Ponto 6 UTM 675.520 mE x 7.253.771 mN – 327 m: depósito aluvial muito grosso associado à drenagem do rio Ponta Grossa, em Cerro Azul, na saída para Adrianópolis; vêem-se blocos arredondados de quartzo, sendo que na matriz predominam blocos pequenos mal rolados de quartzo, juntamente com grãos de feldspato semi-alterado.



FOTO 69 - Ponto 7 UTM 674.802 mE x 7.256.597 mN – 288 m: vista do rio Ribeira para montante tomada a partir de ponte junto à foz do rio Ponta Grossa; observam-se bancos de cascalho muito grosso na margem esquerda.



FOTO 70 - Ponto 32 UTM 688.162 mE x 7.265.319 mN – 420 m: brecha de colapso cimentada por “tufa” branca, contendo blocos grandes de calcário cinza escuro, fresco; a zona brechada tem largura de uma dezena de metros e encontra-se rodeada por afloramentos de calcário “in situ”.



FOTO 71 - Ponto 52 UTM 689.052 mE x 7.269.762 mN – 284 m: quartzo-micaxisto com delgada lente de calcário, à direita da foto; no contato há grande fenda de dissolução cárstica com calcita reprecipitada revestindo a superfície da rocha calcária; a foliação tem direção N25°; 75°SE.

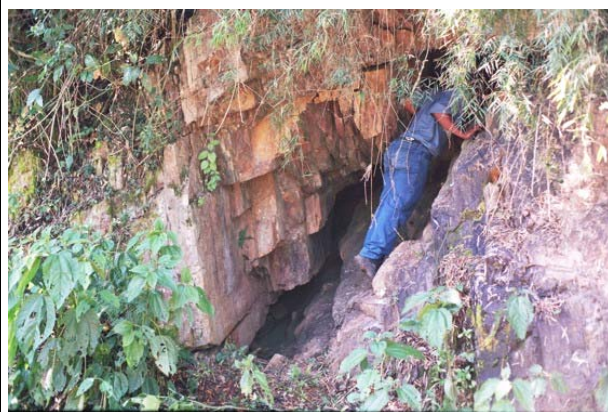


FOTO 72 - Ponto 59 UTM 691.739 mE x 7.269.846 mN – 193 m: brecha de colapso com blocos de quartzoxisto e filito arroxeadado, em matriz com fragmentos de rocha cimentados por “tufa” esbranquiçada.



FOTO 73 - Ponto 66 UTM 695.406 mE x 7.268.686 mN – 232 m: calcário são, com foliação vertical e cavidade de colapso na base, a qual contém fragmentos de calcário em matriz argilosa fofa.



FOTO 74 - Ponto 81 UTM 697.359 mE x 7.269.189 mN – 212 m: brecha de colapso em área com mais de 20 m de extensão, contendo fragmentos e blocos de calcário cinza escuro em matriz carbonática branca (“tufa”); o colapso parece não se manifestar na topografia, sugerindo ser antigo.



FOTO 75 - Ponto 88 UTM 697.599 mE x 7.269.495 mN – 197 m: cascalho fino de quartzo com cimento carbonático, em área de “tufas” esbranquiçadas, correspondentes a colapso cárstico.



FOTO 76 - Ponto 97 UTM 701.628 mE x 7.271.249 mN – 215 m surgência de água em afloramentos de calcário cárstico são, cinza escuro.



FOTO 77 - Ponto 49 UTM 687.771 mE x 7.269.915 mN – 257 m: material silicificado em zona de falha; ao lado afloram metapelitos oxidados, de coloração ocrácea, e material limonitizado, parecido com “chapéu de ferro”; a foliação tem direção N50°; vert.



FOTO 78 - Ponto 89 UTM 697.724 mE x 7.269.701 mN – 208 m: encrave grande de rocha metassedimentar foliada (atrás do observador), em rocha ígnea com plano subhorizontal estriado; ao redor do encrave xistoso há pequenos fragmentos de xisto alterado.



FOTO 79 - Ponto 31A UTM 703.384 mE x 7.268.802 mN – 242 m: plano de falha delimitando o flanco oposto do “horst” em relação ao ilustrado na foto 24. A falha põe em contato metapelitos alterados com depósitos rudáceos que ocupam toda a metade direita da foto



FOTO 80 - Ponto 31A UTM 703.384 mE x 7.268.802 mN
- 242 m: pormenor da foliação dos metapelitos perturbada pelo falhamento ilustrado na foto 79; a foliação dos metapelitos tem direção N55° a 75°E, mergulhando 37° a 58° para NW, na parte central do "horst", enquanto que próximo ao plano de falha a direção passa a N10°W; 55°NE, tendendo a ser paralela à direção da falha.

